



# SPRAWOZDANIE NR 12/OS/0083/26

## Z POMIARÓW NATĘŻENIA PÓL ELEKTROMAGNETYCZNYCH

### WYKONANYCH DLA CELÓW OCHRONY ŚRODOWISKA

Miejsce wykonania badania:	<b>JRS7124B</b>	
	37-552 Korczowa, dz. nr 395/1, pow. jarosławski, woj. PODKARPACKIE	
Współrzędne geograficzne:	49°57'39.80"N, 23°05'33.20"E	
Data wykonania pomiarów:	24.02.2026	
Data wydania sprawozdania:	26.02.2026	
Zleceniodawca:	P4 sp. z o.o. ul. Wynałazek 1 02-667 Warszawa	
Sprawozdanie wykonał:	Sprawdził:	Autoryzował:
Mateusz Maliszewski Specjalista ds. analiz i wizualizacji wyników	mgr inż. Maciej Konieczny Kierownik Laboratorium	mgr inż. Wojciech Lubiński Kierownik ds. jakości

## 1. INFORMACJE O UŻYTKOWNIKU <sup>1</sup>

- Zleceniodawca: P4 sp. z o.o. ul. Wynalazek 1, 02-667 Warszawa
- Typ obiekt: Instalacja radiokomunikacyjna zainstalowana na wieży kratowej
- Numer obiektu: JRS7124B
- Adres obiektu: 37-552 Korczowa, dz. nr 395/1, pow. jarosławski, woj. PODKARPACKIE
- Współrzędne geograficzne: 49°57'39.80"N, 23°05'33.20"E

## 2. CHARAKTERYSTYKA ŹRÓDEŁ PEM <sup>1</sup>

Tabela 1. Parametry systemu nadawczo-odbiorczego

Charakterystyka promieniowania				kierunkowa					
Rzeczywisty czas pracy [h/dobę]				Całodobowa 24h					
Warunki pracy				Znamionowe					
Rodzaj wytwarzanego pola				stacjonarne					
Lp.	Typ nadajnika	Antena Producent / Typ	Azymut [°]	Wysokość środku elektr. anteny [m n.p.t.]	Pasma [Mhz]	Kąt nachylenia [°]	EIRP dla anteny [W]	LON	LAT
1	RBS6xxx/2xxx/4xxx	Huawei ATR4518R11	40	50,4	900	0 - 9	13868	23°05'33.20"E	49°57'39.80"N
	1800				0 - 9	23°05'33.20"E		49°57'39.80"N	
	2100				0 - 9	23°05'33.20"E		49°57'39.80"N	
2	RBS6xxx/2xxx/4xxx	Huawei ATR4518R11	110	30	900	0 - 5	13868	23°05'33.20"E	49°57'39.80"N
	1800				0 - 5	23°05'33.20"E		49°57'39.80"N	
	2100				0 - 5	23°05'33.20"E		49°57'39.80"N	
3	RBS6xxx/2xxx/4xxx	Huawei ATR4518R11	230	50,4	900	0 - 9	13868	23°05'33.20"E	49°57'39.80"N
	1800				0 - 9	23°05'33.20"E		49°57'39.80"N	
	2100				0 - 9	23°05'33.20"E		49°57'39.80"N	

<sup>1</sup> Dane pozyskane od Klienta

**Tabela 2. Parametry radiolinii**

Charakterystyka promieniowania				kierunkowa					
Rzeczywisty czas pracy [h/dobę]				24					
Rodzaj wytwarzanego pola				stacjonarne					
Linia radiowa				Antena					
Lp	Typ nadajnika	Częstotliwość pracy [GHz]	Moc wyjściowa [dBm]	Typ/producent	Średnica anteny [m]	Azymut [°]	Wysokość zainstal. [m]	LON	LAT
1	OPTIX RTN/HUAWEI	80	18	0.6-80(A80S06)	0,6	283	51,2	23°05'33.20"E	49°57'39.80"N

**Inne źródła PEM:** W obszarze pomiarowym badanego obiektu **występują** inne źródła promieniowania pola elektromagnetycznego, które w zakresie badanych częstotliwości bezpośrednio wpływają na wynik wartości mierzonej natężenia pola.

### 3. OPIS POMIARÓW

**Cel badań:** Sprawdzenie dotrzymania dopuszczalnych poziomów pól elektromagnetycznych, w otoczeniu instalacji wytwarzających takie pola.

#### 3.1. Data oraz warunki pomiarów

Data pomiarów	Godzina		Opady	Temperatura [C]		Wilgotność [%]	
	rozpoczęcia pomiarów	zakończenia pomiarów		Minimalna	Maksymalna	Minimalna	Maksymalna
24.02.2026	14:30	16:00	Brak	3,5	3,9	69,7	71,0

#### 3.2. Aparatura pomiarowa:

Tabela 3. Opis zestawu pomiarowego

Nazwa	Typ/model	Numer fabryczny/SN	Świadectwo wzorcowania	Zastosowanie
Szerokopasmowy miernik natężenia pola elektromagnetycznego	NBM- 520	D-2228	<i>LWiMP/W/157/24 z dnia 16.05.2024 (Laboratorium Wzorców i Metrologii Pola Elektromagnetycznego Instytutu Telekomunikacji, Teleinformatyki i Akustyki Politechniki Wrocławskiej)</i>	Pomiary pola elektromagnetycznego
Sonda pomiarowa pola elektrycznego	EF-9091	A-0139		
Termohigrometr	ETI 600 224-600	D22060186	1521/2024 z dnia 19.04.2024 (Instytut Energetyki - Państwowy Instytut Badawczy)	Pomiary wilgotności względnej powietrza Pomiary temperatury powietrza
Odbiornik GPS	Garmin GLO2	1792A-A1156/ 5PS076430	-	Pomiar współrzędnych geograficznych

### 3.3. Wyznaczenie niepewności pomiarów:

Ocenę niepewności przyjmuje się zgodnie z procedurą stosowaną w laboratorium.

Wyznaczona rozszerzona niepewność pomiaru dla współczynnika rozszerzenia  $k = 2$  dla zestawu pomiarowego z pkt.3.2 w dniu pomiaru wynosi 58,67%.

### 3.4. Kryteria przedstawiania stwierdzeń zgodności

Niniejsze sprawozdanie zgodnie z zasadami systemu akredytacji zawiera stwierdzenia zgodności.

W przypadku badań poziomów pola elektromagnetycznego w środowisku stwierdzenie zgodności dotyczy rozstrzygnięcia, czy zmierzona wartość opisująca pole elektromagnetyczne przekracza wartość dopuszczalną dla zakresu częstotliwości, w którym pracują źródła podaną w Rozporządzeniu Ministra Zdrowia z dnia 17 grudnia 2019 r. w sprawie dopuszczalnych poziomów pól elektromagnetycznych w środowisku (Dz. U. z 2019 r. poz. 2448).

### 3.5. Metodyka wykonania pomiarów:

Zastosowano metodę znormalizowaną w oparciu o Rozporządzenie Ministra Klimatu i Środowiska z dnia 6 maja 2022 r. zmieniające rozporządzenie w sprawie sposobów sprawdzania dotrzymania dopuszczalnych poziomów pól elektromagnetycznych w środowisku (Dz.U. 2022 poz. 1121).

### 3.6. Przepisy prawne:

- Ustawa z dnia 27 kwietnia 2001 r. Prawo ochrony środowiska (Dz.U. 2024 r. poz. 834).
- Rozporządzenie Ministra Zdrowia z dnia 17 grudnia 2019 r. w sprawie dopuszczalnych poziomów pól elektromagnetycznych w środowisku (Dz. U. z 2019 r. poz. 2448).
- Rozporządzenie Ministra Klimatu z dnia 17 lutego 2020 r. w sprawie sposobów sprawdzania dotrzymania dopuszczalnych poziomów pól elektromagnetycznych w środowisku Załącznik do obwieszczenia Ministra Klimatu i Środowiska z dnia 21 listopada 2022 r. (Dz. U. poz. 2630).

### 3.7. Opis pomiarów

Stacja bazowa JRS7124B usytuowana jest na wieży kratowej zlokalizowanej pod adresem 37-552 Korczowa, dz. nr 395/1, pow. jarosławski, woj. PODKARPACKIE. Anteny i moduły RRU zamontowane są na antenowych konstrukcjach wsporczych a urządzenia są w szafie APM zainstalowanej u podnóża wieży. W otoczeniu stacji zlokalizowana jest zabudowa jednorodzinna oraz użyteczności publicznej. Analiza parametrów technicznych wykazała, że urządzenia nadawcze stacji pracują w paśmie częstotliwości zgodnie z tabelą 1 oraz tabelą 2. Moc wyjściowa nadajników doprowadzona jest do anten przy pomocy ekranowanych fiderów.

Pomiary w otoczeniu stacji bazowej wykonano wzdłuż kierunków maksymalnego zasięgu oddziaływania pola elektromagnetycznego na kierunkach osi głównych wiązek anten sektorowych do odległości określonej zgodnie z wytycznymi zawartymi w instrukcji wykonywania pomiarów, podczas rzeczywistej pracy urządzeń wytwarzających pola elektromagnetyczne.

Pomiary wykonano dla średniego pochylecia wiązki liczonego jako średnia arytmetyczna z minimalnej i maksymalnej wartości stosowanego lub planowanego kąta pochylecia. Średnie wartości tilt ustawiane są przez Klienta. W przypadku, gdy na danym azymucie zainstalowano kilka anten, średnia wartości tilt ustawiona jest jednakowa dla wszystkich anten. Przyjmuje się najgorszą wartość spośród anten zainstalowanych na danym kierunku.

Pomiary w przyjętych pionach pomiarowych wykonano w punktach położonych na wysokościach od 0,3 m do 2,0 m nad powierzchnią ziemi lub nad innymi powierzchniami, na których mogą przebywać ludzie, przyjmując za wynik pomiaru maksymalny poziom natężenie pól elektromagnetycznego.

Pomiary wykonano w dodatkowych pionach pomiarowych w lokalach oraz na balkonach i tarasach, na których mogą przebywać ludzie, po poinformowaniu o planowanych pomiarach z minimum 3-dniowym wyprzedzeniem i po umożliwieniu dostępu do lokalu, balkonu lub tarasu przez jego dysponenta lub bez zachowania terminu wskazanego w pierwszej części zdania za zgodą dysponenta przestrzeni pomiarowej.

Punkty pomiarowe wewnątrz budynków oraz na tarasach/balkonach wyznaczono na podstawie przeprowadzonych obliczeń rozkładu pola elektromagnetycznego. Jako wartość graniczną do wyznaczenia odległości zasięgu pola elektromagnetycznego przyjęto wartość 9 V/m. Jest to wartość wypadkowa po uwzględnieniu współczynników odpowiadającym emisji z obcych źródeł promieniowania elektromagnetycznego oraz efekt odbicia fal radiowych. Obliczenia te wykonywane są uwzględniając parametry systemu antenowego dostarczone przez Klienta, W tym obszarze pomiary w budynkach wykonywane są obowiązkowo. Jeżeli w ww. obszarze nie zlokalizowano żadnych budynków dodatkowo wyznaczono reprezentatywne budynki, wewnątrz których wykonano dodatkowe pomocnicze punkty pomiarowe.

Przy doborze pionów pomiarowych uwzględniono charakter i sposób zagospodarowania terenu otaczającego stację bazową.

### 3.8. Sposób identyfikacji widma częstotliwości:

Parametry stacji bazowej uzyskane od właściciela instalacji stacji bazowej.

## 4. WYNIKI POMIARÓW

Wyniki pomiarów ważne są jedynie dla danej konfiguracji urządzeń w dniu, w którym wykonano pomiary.

Wynik pomiaru, to maksymalna wartości chwilowa zmierzona w danym pionie pomiarowym powiększona o rozszerzoną niepewność pomiaru  $U$  dla współczynnika rozszerzenia  $k = 2$  (dla poziomu ufności 95%).

**Tabela 4. Dopuszczalne poziomy pól elektromagnetycznych**

Parametr fizyczny Zakres częstotliwości pola elektromagnetycznego	Składowa elektryczna	Składowa magnetyczna
od 400 MHz do 2000 MHz	$1,375 \times f^{0,5}$ V/m	$0,00375 \times f^{0,5}$ A/m
Od 2 GHz do 300 GHz	61 V/m	0,16 A/m

Do wyznaczania wartości wskaźnikowych  $WM_E$  i  $WM_H$  przyjęto najniższe wartości dopuszczalne poziomów pól elektromagnetycznych w/w zakresów częstotliwości.

**Tabela 5. Wyniki pomiarów**

Nr pionu	Opis miejsca pomiaru	Pomiar wewnątrz pomieszczenia	Współrzędne geograficzne		Wynik poniżej progu detekcji*	$E_p$ [V/m]	$U$ [V/m]	$E_p + U$ [V/m]	$H$ [A/m]	$WME$	$WMH$	Przekroczenie wartości dopuszczalnej
			[°] E	[°] N								
1	Poziom gruntu - oś głównej wiązki anteny sektorowej azymut 40st	NIE	23,092870972	49,961335016	NIE	1,12	0,66	1,78	0,005	0,06	0,064	nie przekracza
2	Poziom gruntu - oś głównej wiązki anteny sektorowej azymut 40st	NIE	23,093581376	49,961906081	NIE	1,52	0,90	2,42	0,006	0,09	0,087	nie przekracza
3	Poziom gruntu - oś głównej wiązki anteny sektorowej azymut 40st	NIE	23,094381688	49,962506190	TAK	<0,80	0,47	1,27	0,003	0,05	0,046	nie przekracza
4	Poziom gruntu - oś głównej wiązki anteny sektorowej azymut 40st	NIE	23,095106627	49,963100902	TAK	<0,80	0,47	1,27	0,003	0,05	0,046	nie przekracza
5	Poziom gruntu - oś głównej wiązki anteny sektorowej azymut 40st	NIE	23,095774949	49,963617047	TAK	<0,80	0,47	1,27	0,003	0,05	0,046	nie przekracza
6	Poziom gruntu - pomocniczy pion pomiarowy	NIE	23,094632111	49,963689685	TAK	<0,80	0,47	1,27	0,003	0,05	0,046	nie przekracza
7	Poziom gruntu - pomocniczy pion pomiarowy	NIE	23,094229034	49,962914407	TAK	<0,80	0,47	1,27	0,003	0,05	0,046	nie przekracza
8	Poziom gruntu - pomocniczy pion pomiarowy	NIE	23,093349578	49,961382551	TAK	<0,80	0,47	1,27	0,003	0,05	0,046	nie przekracza
9	Poziom gruntu - oś głównej wiązki anteny sektorowej azymut 40st	NIE	23,092433821	49,961040293	NIE	0,92	0,54	1,46	0,004	0,05	0,052	nie przekracza
10	Poziom gruntu - oś głównej wiązki anteny sektorowej azymut 110st	NIE	23,092861259	49,960779467	NIE	1,03	0,61	1,64	0,004	0,06	0,059	nie przekracza
11	Poziom gruntu - oś głównej wiązki anteny sektorowej azymut 110st	NIE	23,093492259	49,960636319	TAK	<0,80	0,47	1,27	0,003	0,05	0,046	nie przekracza
12	Poziom gruntu - oś głównej wiązki anteny sektorowej azymut 110st	NIE	23,094485101	49,960415923	TAK	<0,80	0,47	1,27	0,003	0,05	0,046	nie przekracza
13	Poziom gruntu - oś głównej wiązki anteny sektorowej azymut 110st	NIE	23,095286309	49,960218408	TAK	<0,80	0,47	1,27	0,003	0,05	0,046	nie przekracza

Nr pionu	Opis miejsca pomiaru	Pomiar wewnątrz pomieszczenia	Współrzędne geograficzne		Wynik poniżej progu detekcji*	E <sub>p</sub> [V/m]	U [V/m]	E <sub>p</sub> + U [V/m]	H [A/m]	WME	WMH	Przekroczenie wartości dopuszczalnej
			[°] E	[°] N								
14	Poziom gruntu - oś głównej wiązki anteny sektorowej azymut 230st	NIE	23,091565330	49,960519116	TAK	<0,80	0,47	1,27	0,003	0,05	0,046	nie przekracza
15	Poziom gruntu - pomocniczy pion pomiarowy	NIE	23,093269847	49,960370262	TAK	<0,80	0,47	1,27	0,003	0,05	0,046	nie przekracza
16	Poziom gruntu - pomocniczy pion pomiarowy	NIE	23,093183892	49,959652251	TAK	<0,80	0,47	1,27	0,003	0,05	0,046	nie przekracza
17	Poziom gruntu - pomocniczy pion pomiarowy	NIE	23,092484606	49,959358737	TAK	<0,80	0,47	1,27	0,003	0,05	0,046	nie przekracza
18	Poziom gruntu - pomocniczy pion pomiarowy	NIE	23,091114411	49,959620644	TAK	<0,80	0,47	1,27	0,003	0,05	0,046	nie przekracza
19	Poziom gruntu - oś głównej wiązki anteny sektorowej azymut 230st	NIE	23,090152445	49,959763384	TAK	<0,80	0,47	1,27	0,003	0,05	0,046	nie przekracza
20	Poziom gruntu - oś głównej wiązki anteny sektorowej azymut 230st	NIE	23,089380357	49,959347548	TAK	<0,80	0,47	1,27	0,003	0,05	0,046	nie przekracza
21	Poziom gruntu - oś głównej wiązki anteny sektorowej azymut 230st	NIE	23,088489753	49,958859355	TAK	<0,80	0,47	1,27	0,003	0,05	0,046	nie przekracza
22	Poziom gruntu - oś głównej wiązki anteny sektorowej azymut 230st	NIE	23,088124101	49,958670853	TAK	<0,80	0,47	1,27	0,003	0,05	0,046	nie przekracza
23	Poziom gruntu - oś głównej wiązki anteny radioliniowej azymut 283st	NIE	23,091637713	49,961003971	TAK	<0,80	0,47	1,27	0,003	0,05	0,046	nie przekracza
24	Poziom gruntu - oś głównej wiązki anteny radioliniowej azymut 283st	NIE	23,090929609	49,961121635	TAK	<0,80	0,47	1,27	0,003	0,05	0,046	nie przekracza
25	Poziom gruntu - pomocniczy pion pomiarowy	NIE	23,091557954	49,961461976	NIE	0,88	0,52	1,40	0,004	0,05	0,050	nie przekracza
26	Poziom gruntu - pomocniczy pion pomiarowy	NIE	23,092365759	49,961268277	TAK	<0,80	0,47	1,27	0,003	0,05	0,046	nie przekracza

**Objaśnienia:**

$$E_p: E_{poprawne} = E_{wskazane} * C_{d(E)} * C_{f(f)}$$

*E<sub>wskazane</sub>* - zmierzona maksymalna wartość chwilowa natężenia pola elektrycznego

*C<sub>d(E)</sub>* – charakterystyka dynamiczna sondy – zgodna ze świadectwem wzorcowania

*C<sub>f(f)</sub>* – charakterystyka częstotliwościowa sondy – zgodna ze świadectwem wzorcowania

*H* – wyznaczona wartość natężenia pola magnetycznego z uwzględnieniem współczynnika korekcyjnego oraz rozszerzonej niepewności pomiaru.

*WME* - wartość wskaźnikowa poziomu oddziaływania pól elektromagnetycznych dla miejsc dostępnych dla ludności dla składowej elektrycznej pola.

*WMH* - wartość wskaźnikowa poziomu oddziaływania pól elektromagnetycznych dla miejsc dostępnych dla ludności dla składowej magnetycznej pola.

\* Wynik poniżej progu detekcji - wartość zmierzona poniżej zakresu akredytacji. Do obliczeń przyjęto wartość zgodną z dolną granicą akredytowanego zakresu pomiarowego metody.

**Piony pomiarowe wewnątrz budynków oraz na tarasach/balkonach wyznaczono na podstawie przeprowadzonych obliczeń rozkładu pola elektromagnetycznego zgodnie z wewnętrznymi procedurami laboratorium.**

## 5. WNIOSKI

Stwierdza się, iż na podstawie uzyskanych wyników pomiarów i informacji uzyskanych od operatora, w otoczeniu stacji bazowej telefonii komórkowej JRS7124B w miejscach dostępnych dla ludności, w których dokonano pomiaru, nie zostały przekroczone wartości graniczne poziomów pól elektromagnetycznych określonych w Rozporządzeniu Ministra Zdrowia z dnia 17 grudnia 2019 r. w sprawie dopuszczalnych poziomów pól elektromagnetycznych w środowisku (Dz. U. z 2019 r. poz. 2448).

Stwierdzenie zgodności zostało przedstawione na podstawie wyników badań oraz informacji uzyskanych od Klienta (za które Laboratorium nie ponosi odpowiedzialności) dla instalacji opisanej w punkcie 2. Stwierdzenia zgodności dokonano na podstawie zasady podejmowania decyzji i wymagań zawartych w załączniku do Rozporządzenia Ministra Klimatu z dnia 17 lutego 2020 r. w sprawie sposobów sprawdzania dotrzymania dopuszczalnych poziomów pól elektromagnetycznych w środowisku (Dz.U. 2022 poz. 2630 z 15.12.2022r.).

- Sprawozdanie zawiera 9 stron
- Załączniki: nr 1 – mapa z rozmieszczeniem pionów pomiarowych wokół obiektu
- Otrzymują:
  1. Zleceniodawca: - 1 egz.
  2. a / a: 1 egz.

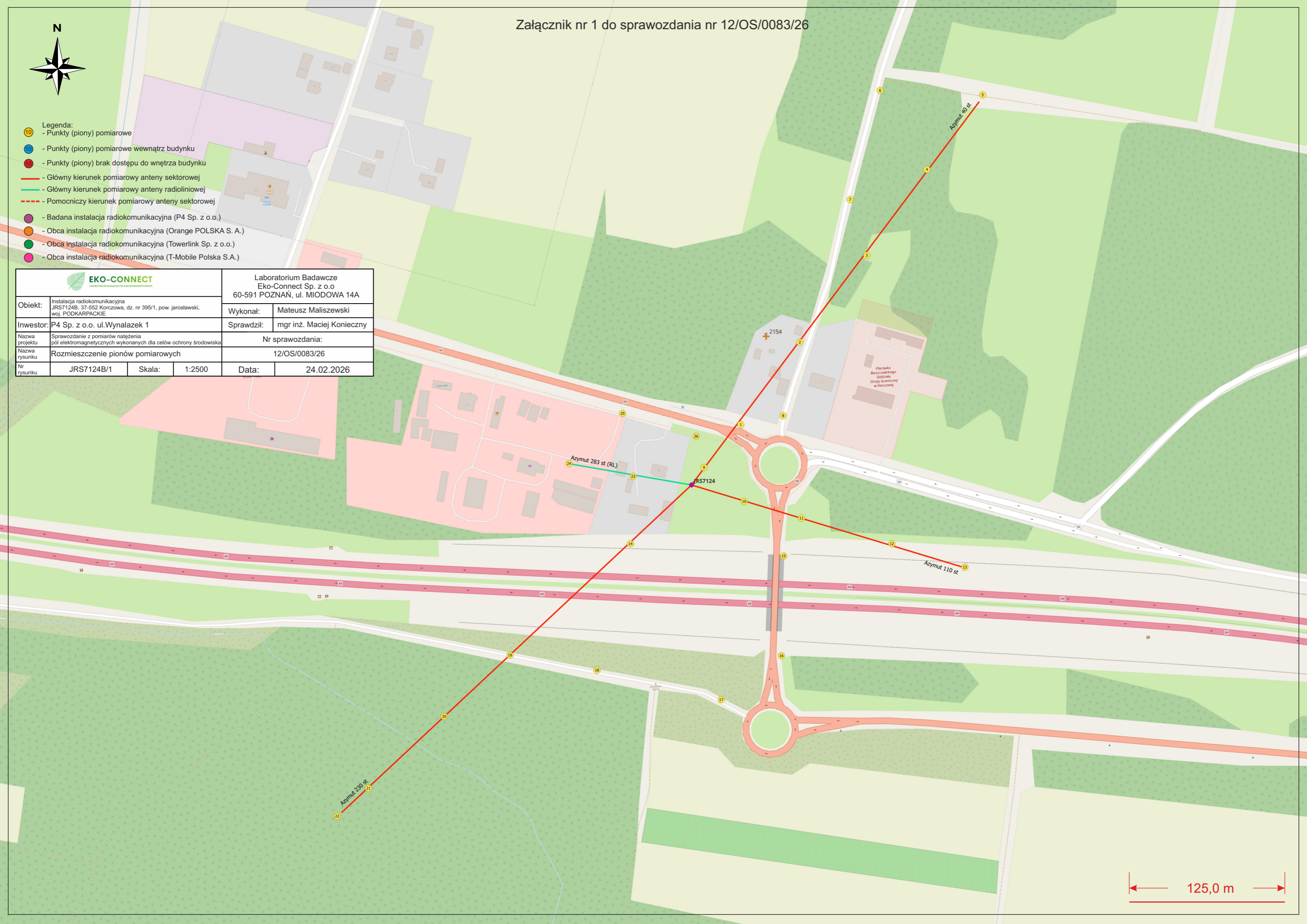
Bez pisemnego zezwolenia laboratorium Eko-Connect Sp. z o.o. sprawozdanie nie może być powielane inaczej, jak tylko w całości.

# KONIEC SPRAWOZDANIA



- Legenda:
- - Punkty (piony) pomiarowe
  - - Punkty (piony) pomiarowe wewnątrz budynku
  - - Punkty (piony) brak dostępu do wnętrza budynku
  - - Główny kierunek pomiarowy anteny sektorowej
  - - Główny kierunek pomiarowy anteny radioliniowej
  - - - - Pomocniczy kierunek pomiarowy anteny sektorowej
  - - Badana instalacja radiokomunikacyjna (P4 Sp. z o.o.)
  - - Obca instalacja radiokomunikacyjna (Orange POLSKA S. A.)
  - - Obca instalacja radiokomunikacyjna (Towerlink Sp. z o.o.)
  - - Obca instalacja radiokomunikacyjna (T-Mobile Polska S.A.)

 <b>EKO-CONNECT</b> <small>LABORATORIUM BADAWCZE Pól ELEKTROMAGNETYCZNYCH</small>		Laboratorium Badawcze Eko-Connect Sp. z o.o. 60-591 POZNAŃ, ul. MIODOWA 14A	
Obiekt:	Instalacja radiokomunikacyjna JRS7124B, 37-552 Korczowa, dz. nr 395/1, pow. jarosławski, woj. PODKARPACKIE	Wykonał:	Mateusz Maliszewski
Inwestor:	P4 Sp. z o.o. ul. Wynałazek 1	Sprawdził:	mgr inż. Maciej Konieczny
Nazwa projektu	Sprawozdanie z pomiarów natężenia pól elektromagnetycznych wykonanych dla celów ochrony środowiska	Nr sprawozdania:	
Nazwa rysunku	Rozmieszczenie pionów pomiarowych	12/OS/0083/26	
Nr rysunku	JRS7124B/1	Skala:	1:2500
		Data:	24.02.2026



125,0 m